

# Lancement, méthodes et algorithmes

## Moment Based Rendering

---

Baptiste Delos, Mehdi Djemai, Alban Odot,  
Pierre Mézières et Jean-Baptiste Sarazin

Encadrant : Mathias Paulin

Master 2 - Informatique Graphique et Analyse d'Images



Figure 1: Exemple d'ombrage

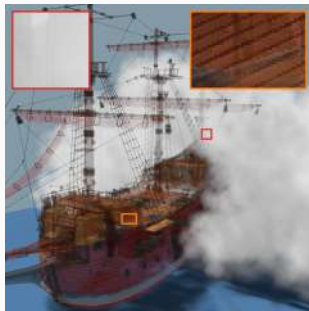


Figure 2: Exemple de transparence

1. Lancement
2. Méthodes
3. Algorithmes

# Lancement

---

# Plan de développement

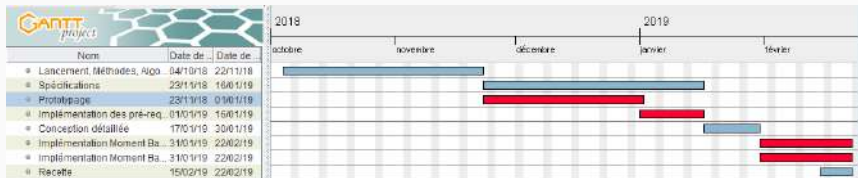


Figure 3: Diagramme de Gantt

Conception

Développement

# Organisation du projet

- **Communication interne:** Discord, Google drive
- **Communication externe:** Mail, Réunion bimensuelle si nécessaire
- **Gestion des versions:** Git
- **Modèle de développement:** Itérations de 2 semaines
- **Débogage:** Critère Visuel, Valgrind ...
- **Test:** Test spécifique sur le code jugé sensible



# Méthodes

---

## Travail à réaliser:

- Algorithmes d'ombrage
- Transparence avec indépendance à l'ordre des fragments

→ Création et modification de *renderer* dans un moteur 3D temps réel.

**But:** Comparer les algorithmes de bases avec les algorithmes présentés dans les papiers.

## Moteur 3D: Rogue (Render Object Graphic Useless Engine)



Organisation globale:

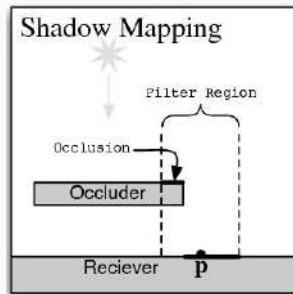
1. Assurer compilation Mac
2. Implantation *renderer* pour l'ombre et la transparence de base
3. Implantation des algorithmes présentés dans les papiers

# Problème principal

Profondeur non linéaire → Filtrage linéaire

**Idée:**

Représenter la profondeur avec des données linéaires.



**Figure 4:** Représentation d'une profondeur non linéaire

## Techniques de référence

- Ombrage → Percentage Closer Filtering
- Transparence → *Depth Peeling*

## Mise en place de la comparaison

- **Métrique visuelle:** Différence d'images, distance entre couleurs
- **Temps d'exécution:** Mesure de génération d'une image

# Algorithmes

---

**b** est la donnée stockée dans la shadow map

1. Classique:

$$b : [0, 1] \rightarrow \mathbb{R}.$$

2. Général:

$$b : [0, 1] \rightarrow \mathbb{R}^m.$$

3. Nous:

$$b : [0, 1] \rightarrow \mathbb{R}^4.$$

# Moment Shadow Mapping - Principe

Echantillonner une shadow map via une variable aléatoire sur  $\mathbb{R}^2$ .

1. Soit  $t : \mathbb{R}^2 \rightarrow \mathbb{R}^2$  une variable aléatoire.
2. Soit  $s : \mathbb{R}^2 \rightarrow [0, 1]$  une shadow map.

$$z := s \circ t \in [0, 1]$$

$Z := P_z : \mathcal{B}([0, 1]) \rightarrow [0, 1]$  est la distribution de profondeur par le noyau  $t$  sur la shadow map  $s$ .

$\mathcal{B}$  étant une  $\sigma$ -algèbre sa structure d'espace vectorielle nous donne

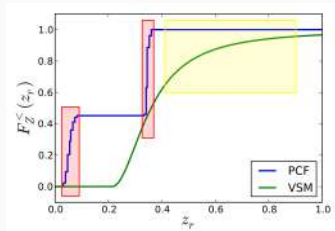
$$(\omega_1 P_1 + \omega_2 P_2)(\omega) = \omega_1 P_1(\omega) + \omega_2 P_2(\omega)$$

Combinaison linéaire de profondeurs  $\rightarrow$  combinaison linéaire des ombres

Coefficients linéairement filtrables  $\rightarrow$  anti-aliasing sur la shadow map

# Moment Shadow Mapping - Approximation de la PCF

- **Objectif** : Approximer la fonction de visibilité
- Reconstruction linéaire impossible aux bords des objets.
- **Minorer** la visibilité : *Light leaking*
- **Majorer** la visibilité : Auto-occlusion



On choisit de minorer la visibilité car les artefacts sont moins gênants.

- *VSM* : Méthode non-linéaire qui utilise  $\mathbb{E}(z)$  et  $\mathbb{E}(z^2)$
- *Four Moments Shadow Mapping* : Offre une meilleure approximation

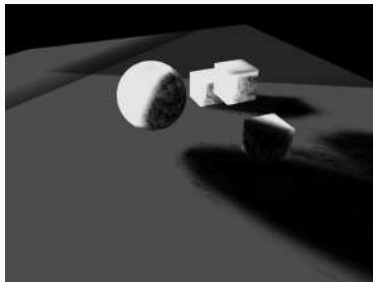


Figure 5: Artefacts générés par le VSM

Espace de recherche

- Soit  $I \subset \mathbb{R}$ .
- Soit  $\mathbf{b} : I \rightarrow \mathbb{R}^m$ .
- Soit  $Z \in \mathfrak{P}(I)$ . On pose  $b := \mathbb{E}_Z(\mathbf{b})$

$$\mathfrak{S}_b := \{S \in \mathfrak{P}(I) \mid \mathbb{E}_S(\mathbf{b}) = b\}$$

Trouver le minorant optimal pour  $F_S(z_r) = P([-\infty, z_r])$  définie par

$$\rho_I(b, z_r) := \inf_{S \in \mathfrak{S}_b(I)} F_S(z_r)$$

# Moment Shadow Mapping - Solution

Entrées:  $T := \{z_1, \dots, z_n\} \subset [0, 1]$ ,  $\mathbf{b} : [0, 1] \rightarrow \mathbb{R}^m$ ,  $z_r \in [0, 1]$

Sortie:  $Z \in \mathfrak{G}_b \cap \mathfrak{P}(T)$  avec  $F_Z(z_r) = \rho_T(\mathbf{b}, z_r)$

1.  $A := (\mathbf{b}_j(z_i)) \in \mathbb{R}^{m \times n}$
2.  $\bar{A} := \begin{pmatrix} 1 \cdots 1 \\ A \end{pmatrix}$
3.  $\bar{b} := \begin{pmatrix} 1 \\ b \end{pmatrix}$
4.  $p \in \mathbb{R}^n$  avec  $p_i := \chi_{-\infty, z_r}(z_i)$
5. **Trouver**  $\omega$  minimisant  $p^T \cdot \omega$  sujet à la contrainte  $\bar{A} \cdot \omega = b$  et  $\omega_i \geq 0 \forall i \in \{1, \dots, n\}$
6. **Retourner**  $Z = \sum_{i=1}^n \omega_i \delta_{z_i}$  en cas de succès  
Indiquer  $\mathfrak{G}_b \cap \mathfrak{P}(T) = \emptyset$  sinon

## Hamburger 4MSM :

1.  $b := \mathbf{b}_{MSM} := (z, z^2, z^3, z^4)^T$ .
2. Défini sur  $\mathbb{R}$
3. **Insensible** à la différence Z-Near, Z-Far

## Hausdorff 4MSM :

1.  $b := \mathbf{b}_{MSM} := (z, z^2, z^3, z^4)^T$ .
2. Défini sur  $[0, 1]$
3. **Sensible** à la différence Z-Near, Z-Far

Equation de mélange :

- $n \in \mathbb{N}$  fragments
- $L_l$  Couleur du fragment  $l$
- $\alpha_l$  Opacité du fragment  $l$
- $z_l$  Profondeur du fragment  $l$

$$\sum_{l=0}^{n-1} L_l \cdot \alpha_l \cdot T(z_f)$$

Transmittance :

$$T(z_f) = \prod_{\substack{k=0 \\ z_k < z_l}}^{n-1} (1 - \alpha_k)$$

Taux d'absorption:

$$A(z_f) := -\ln(T(z_f)) = \sum_{\substack{l=0 \\ z_l < z_f}}^{n-1} -\ln(1 - \alpha_l)$$

Composition dépendante à l'ordre des fragments

Objectif des méthodes *Order Independent Transparency* :

Représenter  $A(z_f)$  sans tri préalable des fragments

Cumulative :

$$Z := \sum_{l=0}^{n-1} -\ln(1 - \alpha_l) \cdot \delta(z_l)$$

Espérance :

Hamburger 4MSM propose  $\mathbf{b}(z) = (1, z, z^2, z^3, z^4)$

$$b := \mathbb{E}_z(\mathbf{b}) := \sum_{l=0}^{n-1} -\ln(1 - \alpha_l) \cdot \mathbf{b}(z_l)$$

$b$  est l'absorbance du fragment à la profondeur  $z$  indépendamment de son ordre.

Couleur :

$$\exp(-b_0) \cdot L_n + \Gamma \cdot \sum_{l=0}^{n-1} L_l \cdot \alpha_l \cdot T(z_f, b, \beta)$$

avec

$$\Gamma = \frac{1 - \exp(-b_0)}{\sum_{l=0}^{n-1} \alpha_l \cdot T(z_f, b, \beta)}$$

un facteur de normalisation

## Minimisation des erreurs a priori

*Depth Warping :*

$$z := \frac{\ln(z_v) - \ln(z_{min})}{\ln(z_{max}) - \ln(z_{min})} \cdot 2 - 1$$

avec  $z_v \in \mathbb{R}$  profondeur dans l'espace de vue

**Application d'une transformation affine  $\Theta_m^*$  au vecteur  $\mathbf{b}(z)$**   
(moments exponentiels)

Questions ?